

## 混合土を用いた三軸ペーンせん断試験の適用性について

阿南工業高等専門学校 正会員 ○米津 聖

1. まえがき

一般に、ペーンせん断試験は粘性土地盤のせん断強度を原位置で測定する目的で広く普及され、使用範囲は主として軟弱粘土の非排水せん断強度を求める試験として利用していることが多い。ペーン試験が軟弱粘土以外の土質に利用される実態は見るべきものが少ない。一部では、有機質土層に標準的なペーン試験の活用法、あるいは室内実験法として海成粘土と標準砂を混合した人工圧密土を用いた研究報告も発表されているが、ペーン試験の適用土質のせん断強度に関しては十分な検討がなされていないのが現状である。本報告では土質の種類に関する三軸ペーンせん断試験の適用性を調べるために、軟弱粘土1種類と混合粘土（粘土+砂分）3種類の合計4種類をそれぞれ人工圧密して三軸ペーン試験の供試体に用い、せん断強度の異方向性を測定すると共に、Cedding式についての考察を加えている。

2. 試料および実験方法

試験用試料は阿南市新野町瓦焼用粘土を1種類と砂分として山口県豊浦産標準砂、香川県眞砂土、阿南市那賀川の川砂をそれぞれフルイ分けして、粘土に砂分含有率50%をギャップグレーディングの粒度配合にならぬよう重量比配合した混合土3種類を用いている。それぞれの4種類の試料に水を加えてスラリー状態にして、直径40cm、高さ70cmの円筒形圧密箱に入れ載荷装置で荷重0.37kgf/cm<sup>2</sup>を加えて人工圧密土試料を作成した。このときの各試料土の物理的性質を表-1に示す。

人工圧密した土試料をシンウォール

表-1 土試料の物理的性質

試料名	比重	粒度			コンシスタンシー			日本或一 分類法 分類
		粘土分	シルト分	砂分	液性限界	塑性限界	塑性指数	
新野粘土	2.70	33.0 %	43.0 %	24.0 %	41.8	28.7	15.1	CL
混合土1(粘土+眞砂土)	2.73	18.1 %	31.4 %	50.5 %	28.7	18.2	8.4	CL
混合土2(粘土+標準砂)	2.57	14.5 %	21.9 %	63.5 %	24.4	17.1	7.3	CL
混合土3(粘土+川砂)	2.65	13.4 %	24.1 %	62.5 %	28.1	18.5	7.5	CL

サンプラチュープ（外径5.4cm、内径5cm、肉厚0.4mm、長さ100cm）で抜き取る。抜き取った各土試料は三軸ペーン試験用供試体として、直径5cm、高さ10cmに成形してブリキ缶に入れ密封して保管する。三軸ペーン試験のペーン寸法形状は直径D×高さH、(D/H)が

$8 \times 16\text{mm}$ 、(0.5)、 $12 \times 12\text{mm}$ 、(1.0)、 $12 \times 8\text{mm}$ 、(1.5)、 $16 \times 8\text{mm}$ 、(2.0)を用いている。三軸セル内の鉛直圧 $\sigma_{1c}$ は土中で受けている土かぶり圧に等しい最大圧密主応力と考え、側圧 $\sigma_{3c}$ は土中の水平方向の圧力である最小圧密主応力としている。このときの圧密応力比を $K = \sigma_{3c} / \sigma_{1c} = 1.0$ としている。ペーン回転速度は $1.75 \times 10^{-3} \text{ rad/sec}$ を用いている。

3. 試験結果と考察

Aas,G は、自然地盤の異方向性を調べるために原位置ペーン試験を実施し、測定結果から異方向性を知るために Cedding の式

$$M = \pi / 2 \cdot H D^2 \tau_v + \pi / 2 \cdot D^3 \alpha \tau_h \quad \dots \dots (1)$$

式(1)を変形して

$$2M / \pi D^2 H = \tau_v + \alpha \tau_h \cdot D / H \quad \dots \dots (2)$$

として用いている。さらに式(2)を適用することによって、正規圧密粘土地盤の異方向性を実証している。本文ではこの現象を三軸ペーン試験によって検討するために、式(2)を中心として考えてみることにした。グラフ上にペーン比D/Hを横軸に、 $2M/\pi D^2 H$ を縦軸にとり、測定値をプロットすれば直線関係が成立し、 $\tau_v$ が求められる。さらに、 $\tau_v/\tau_H$ については $2M/\pi D^2 H = 0$ とすれば $D/H$ の値から $\tau_v/\tau_H = -\alpha (D/H)$ として求められる。

4種類の土試料について、それぞれ三軸ペーン試験から求めたペーン端面上の異方向比 $\tau_v/\tau_H$ と慣用計算法によるせん断強度Cを表-2に総括している。この表より、各土試料のペーン側面のせん断強度 $\tau_H$ の平均値を比較すれば $\tau_v = \tau_H$ とはならず、混合土2を除いて $\tau_v < \tau_H$ の傾向であり、慣用計算法による $\tau_H = \tau_v = C$ の関係では $\tau_v = C$ に近似していることが判明した。図-1は混合土2を用いて行った $\tau_v \sim \theta$ 、 $\tau_H \sim \theta$ 曲線及び $\tau_v = \tau_H = C$ の慣用計算法から求められた $C \sim \theta$ 曲線を示している。この図からペーン比D/Hがせん断強度Cに大きな影響を与え、せん断強度のピーク値を比較すれば $\tau_v < \tau_H$ となり、上述と同じ傾向として考えられる。次に、式(2)中で

$\tau_H = \tau_v = \tau_f$ とおき両辺を圧密圧力 $\sigma_{1c}$ で割れば

$$\tau_f / \sigma_{1c} = 2M/\pi D^2 H (1/\sigma_{1c}) / (1 + \alpha \cdot H/D) \quad \dots \dots (3)$$

式(3)の右辺で係数 $\alpha = 1/3$ の分布形とし、ペーン寸法比D/Hと圧密圧力 $\sigma_{1c}$ を変化させた測定値をプロットすれば図-2の関係のグラフとなる。図-3は $\tau_f / \sigma_{1c}$ とD/Hの関係をグラフ上にプロットしたもので測定値は水平線上にある。D/Hを変せても同一の $\tau_f / \sigma_{1c}$ 値がえられるため Cadling式(1)が適用できる必要条件を満たしていることが分かる。

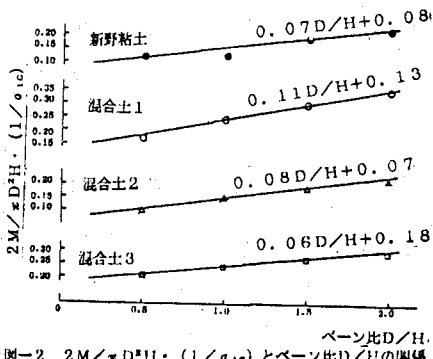


図-2  $2M/\pi D^2 H \cdot (1/\sigma_{1c})$  とペーン比D/Hの関係

表-2 三軸ペーンによるペーン端面上の異方向比についての総括表

$H/D \cdot H = 0.07 \text{ kgf/cm}^2$	$\alpha$	$\tau_v/\tau_H$	$\tau_v$	$\tau_H$	$\tau_H = \tau_v = C$
新野粘土	1/3	0.42	0.03	0.07	0.04
	0.3	0.37	0.03	0.08	
	1/4	0.31	0.03	0.10	
	平均値	0.37	0.03	0.08	
混合土1(粘土+成砂土)	1/3	0.30	0.10	0.13	0.07
	0.3	0.27	0.04	0.15	
	1/4	0.23	0.04	0.18	
	平均値	0.27	0.04	0.15	
混合土2(粘土+粗砂)	1/3	1.42	0.05	0.04	0.06
	0.3	1.20	0.06	0.04	
	1/4	1.08	0.06	0.06	
	平均値	1.26	0.05	0.04	
混合土3(粘土+川砂)	1/3	1.00	0.06	0.07	0.07
	0.3	0.81	0.06	0.08	
	1/4	0.67	0.06	0.10	
	平均値	1.13	0.06	0.08	

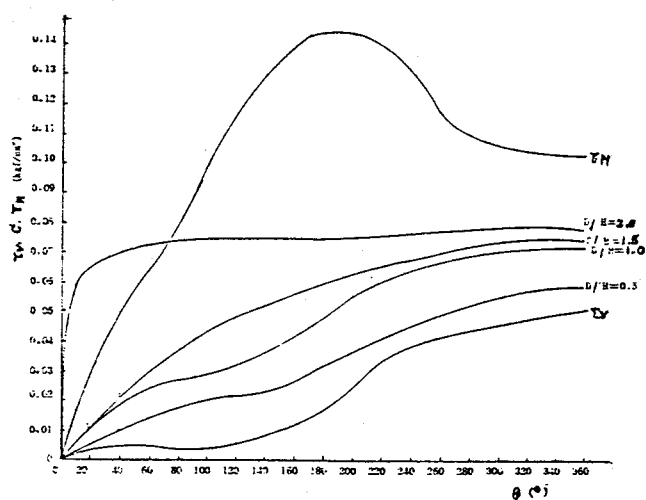


図-1 粘土(粘土+成砂土)のペーンせん断強度( $\tau_v$ 、 $C$ 、 $\tau_H$ )と当転角度( $\theta$ )の関係

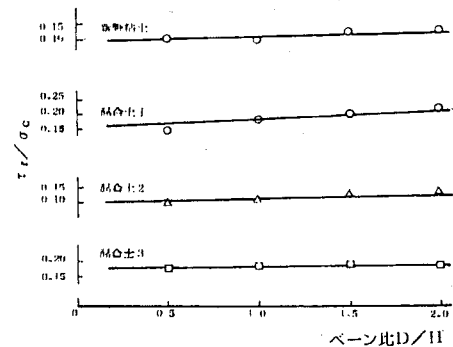


図-3 係数 $\alpha = 1/3$ の分布形に対する $\tau_f/\sigma_{1c}$ とD/Hとの関係